

## Providing a Simple Method for Estimating Ground Deformations in Building-Tunnel Interaction

Yazdan Shams Maleki<sup>1</sup>

1. Corresponding Author, Civil Engineering Dept., Faculty of Engineering, Kermanshah University of Technology, Kermanshah, Iran. E-mail: [y.shamsmaleki@kut.ac.ir](mailto:y.shamsmaleki@kut.ac.ir)

---

### Article Info

**Article type:**  
Research Article

**Article history:**

**Received**

2025-01-17

**Received in revised form**

2025-03-25

**Accepted**

2025-05-12

**Available online**

2025-06-22

**Keywords:**

Ground Deformation Function,  
Tunnel,  
Surface Building,  
Simplified Finite Element  
Method

---

### ABSTRACT

Constructing underground tunnels in urban areas brings surface buildings close to excavations, leading to mutual deformation effects between tunnels and structures. Analyzing this interaction is challenging due to soil nonlinearity and complex building characteristics. In this study, a simplified method based on two- and three-dimensional finite element numerical analyses is presented to estimate the values of surface deformations of ground, tunnels, and buildings. Also, the maximum cross-section of the Kermanshah urban train tunnel has been used to perform numerical modeling. Logical and facilitating simplifications in the definition of tunnel-building interaction are presented to solve the problem more quickly. The obtained deformation values have been compared and verified with the actual values measured in other available valid references. A good agreement is observed between the results of field measurements and the numerical findings of this study. Accordingly, vertical displacement modeling yields a difference between 1.45% and 6.67% when comparing valid field results and the 2D finite element numerical model. In addition, the difference between the overall displacement results of the NATM staged tunneling model in the 3D model of the reference article and the 3D model of this study is a negligible 7.14%. Also, a simple and short-exponential mathematical equation with high accuracy (coefficient of determination greater than 0.90) is presented to estimate the amounts of deformations, efforts, and internal forces of the tunnel lining system with increasing surface construction overhead. A simple exponential mathematical relationship with an increasing upward trend with high fitting accuracy has been obtained between the changes in horizontal displacement responses, settlement, shear stress, shear strain, internal efforts of the reinforced concrete lining of the tunnel (bending moment, shear force, and axial force), and the surface structure overhead. On the other hand, the amounts of horizontal displacements of the soil mass above the tunnel crown is about 25% of the vertical displacements (settlements).

---

**Cite this article:** Shams Maleki, Yazdan. (2025). Providing a Simple Method for Estimating Ground Deformations in Building-Tunnel Interaction. *Advanced Modeling in Civil Engineering*, 2(1), 1-19.

DOI: [10.22126/amcen.2025.8376.1001](https://doi.org/10.22126/amcen.2025.8376.1001)



© The Author(s).

DOI: [10.22126/amcen.2025.8376.1001](https://doi.org/10.22126/amcen.2025.8376.1001)

Publisher: Razi University

## **Introduction**

The construction of underground tunnels in urban areas brings surface buildings into proximity to these excavations. Mutual deformation effects between the tunnel and the buildings are created at this stage. Considering the complex characteristics of some surface structures as well as the nonlinear behavior of soil layers, tunnel-building interaction analysis is a very challenging issue. The location of urban tunnels under sensitive structures leads to damage to both the structure and the tunnel. The main goal of considering different assumptions is to somehow simplify the complex and intricate problem of multiple structure-soil-tunnel interactions. In fact, the interactions that occur in this problem can produce different and distinct results at different stages between soil and structure, tunnel and soil, structure and tunnel, or between all three of them. The flexural stiffness of the structure is an important parameter in the analysis of tunnel-soil-structure interaction. A method is proposed in which the response of a building to tunneling is related to the bending of a cantilever beam, and empirical-type relations are presented to estimate the bending stiffness of the building [1]. This approach is relevant for situations where the building is perpendicular to the tunnel axis and the nearest edge of that building does not overlap more than half of the tunnel cross-section. However, The aim of this research is to find a simplified solution to overcome the complexities of this multiple interaction problem.

## **Method**

In this study, a simplified method based on two- and three-dimensional finite element numerical analyses is presented to estimate the values of surface deformations of ground, tunnels, and buildings. Also, the maximum cross-section of the Kermanshah urban train tunnel has been used to perform numerical modeling. Logical and facilitating simplifications in the definition of tunnel-building interaction are presented to solve the problem more quickly. Two-dimensional (2D) modeling of the tunnel problem has been carried out in the form of plane-strain assumptions. Three-dimensional (3D) finite element modeling has been developed based on two-dimensional models. The 15-node triangular elements were used for 2D modeling and wedge elements were used for the 3D model.

## **Results**

The obtained deformation values have been compared and verified with the actual values measured in other available valid references. A good agreement is observed between the results of field measurements and the numerical findings of this study. Accordingly, vertical displacement modeling yields a difference between 1.45% and 6.67% when comparing valid field results and the 2D finite element numerical model.

## **Conclusions**

The difference between the overall displacement results of the NATM staged tunneling model in the 3D model of the reference article and the 3D model of this study is a negligible 7.14%. Also, a simple and short-exponential mathematical equation with high accuracy

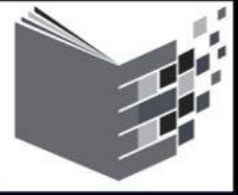
(coefficient of determination greater than 0.90) is presented to estimate the amounts of deformations, efforts, and internal forces of the tunnel lining system with increasing surface construction overhead. A simple exponential mathematical relationship with an increasing upward trend with high fitting accuracy has been obtained between the changes in horizontal displacement responses, settlement, shear stress, shear strain, internal efforts of the reinforced concrete lining of the tunnel (bending moment, shear force, and axial force), and the surface structure overhead. On the other hand, the amounts of horizontal displacements of the soil mass above the tunnel crown is about 25% of the vertical displacements (settlements).

### **Author Contributions**

author participated in writing and revising the article.

### **Conflict of Interest**

Authors declared no conflict of interest.



## ارائه روشی ساده جهت تخمین تغییر شکل های زمین در اندر کنش ساختمان-تونل

### بیزدان شمس ملکی<sup>۱</sup>

۱. نویسنده مسئول، گروه مهندسی عمران، دانشکده مهندسی، دانشگاه صنعتی کرمانشاه، کرمانشاه، ایران. رایانامه: [y.shamsmaleki@kut.ac.ir](mailto:y.shamsmaleki@kut.ac.ir)

### چکیده

### اطلاعات مقاله

نوع مقاله:	مقاله پژوهشی
تاریخ دریافت:	۱۴۰۳/۱۰/۲۸
تاریخ بازنگری:	۱۴۰۴/۱۰/۵
تاریخ پذیرش:	۱۴۰۴/۰۲/۲۲
تاریخ انتشار:	۱۴۰۴/۰۴/۰۱
کلیدواژه‌ها:	تابع تغییر شکل سطح زمین، تونل، ساختمان سطحی، روش اجزای محدود ساده شده
مدادهای اضافی:	احداث تونل‌های زیرزمینی در نواحی شهری باعث مجاورت این سطحی با این حفاری‌ها می‌شود. اثرات تغییر شکلی متقابلی بین تونل و ساختمان‌ها در این مرحله ایجاد می‌شود. با توجه به مشخصات پیچیده برخی ساختمان‌های سطحی و نیز رفتار غیرخطی لایه‌های خاک، تحلیل اندر کنش تونل-ساختمان مساله‌ای بسیار چالش برانگیز است. در این مطالعه، یک روش ساده شده بر مبنای تحلیل‌های عددی اجزای محدود دو و سه بعدی، برای برآورد مقادیر تغییر شکل‌های سطحی زمین، تونل و ساختمان ارائه شده است. همچنین مقطع عرضی بیشینه تونل قطار شهری کرمانشاه جهت انجام مدل سازی‌های عددی مورد استفاده قرار گرفته است. ساده‌سازی‌های منطقی و تسهیل کننده‌ای در تعریف اندر کنش تونل-ساختمان برای حل سریع‌تر مساله، ارائه شده است. مقادیر تغییر شکل‌های حاصل شده با مقادیر واقعی اندازه‌گیری شده در سایر مراجع معتبر موجود، مقایسه و هم‌سنجدی شده است. تطابق خوبی بین نتایج اندازه‌گیری‌های میدانی و یافته‌های عددی این مطالعه مشاهده می‌شود. بر این اساس مدل سازی جابجایی قائم اختلافی بین ۱/۴۵٪ تا ۶/۶٪ در مقایسه نتایج میدانی معتبر و مدل عددی اجزای محدود دو بعدی بدست می‌دهد. افروزن بر آن اختلاف بین نتایج جابجایی کلی مدل حفاری مرحله‌ای تونل زنی NATM در مدل سه بعدی مقاله مرجع و مدل سه بعدی این مطالعه مقدار ناجیز ۷/۱۴٪ حاصل شده است. همچنین یک رابطه ریاضی ساده و کوتاه نمایی با دقت بالا (ضریب تعیین بیش از ۹۰٪) جهت برآورد میزان تغییر شکل‌ها، تلاش‌ها و نیروهای داخلی سیستم پوشش تونل با افزایش سربار ساختمانی سطحی ارائه شده است. یک رابطه ریاضی ساده نمایی با روند صعودی افزایشی با دقت برازش بالا مابین تغییرات پاسخ‌های جابجایی افقی، نشست، تنش برشی، کرنش برشی، تلاش‌های داخلی پوشش بتن مسلح تونل (لنگرخمشی، نیروی برشی و نیروی محوری) و سربار ساختمان سطحی بدست آمده است. از سویی میزان جابجایی‌های افقی توده خاک بالای تاج تونل در حدود ۲۵٪ جابجایی‌های قائم (نشست‌ها) حاصل شده است.

استناد: شمس ملکی، بیزدان. (۱۴۰۴). ارائه روشی ساده جهت تخمین تغییر شکل‌های زمین در اندر کنش ساختمان-تونل. مجله مدل سازی پیشرفته در مهندسی عمران، ۱(۱)، ۱۹-۱۲. DOI: 10.22126/amcen.2025.8376.1001



ساختمان دارای اثر سختی نسبتاً بیشتری در مقایسه با طبقه‌های بالایی هستند. در تحقیق سون و کوردینگ<sup>۱</sup> (۲۰۲۰) [۲] برآورد خسارت وارد به ساختمان‌ها در اثر اعوجاج ۳ بعدی به دلیل حفر تونل و تغییر شکل ناشی از حفاری آن، مورد ارزیابی قرار گرفته است. این مطالعه معیار برآورد آسیب مبتنی بر کرنش دو بعدی را گسترش می‌دهد.

در پژوهش زاخم و النجار<sup>۲</sup> (۲۰۲۰) [۳] بررسی سه بعدی اثر ساختمان‌های جدید متکی بر شالوده گستردۀ بر رفتار تونل‌های موجود مطالعه شده است. در تحقیق آن‌ها به کمک نرم افزار اجزای محدود PLAXIS یک تحلیل دقیق اجزای محدود سه بعدی انجام شده است، که نشان می‌دهد اندرکنشی مابین تونل قبلی موجود و پی گستردۀ جدید ایجاد شده است. در مقاله کوبی و همکاران<sup>۳</sup> (۲۰۱۹) [۴] مدل‌های مدل‌های کوچک-مقیاس درباره سیستم لاینینگ سگمنتی (پوشش قطعه‌ای) تونل شیلد تحت اثر فشارهای خاک و آب، تحت مطالعه آزمایشگاهی قرار گرفته است. طبق نتایج آن، پوشش سگمنتی دارای نیروی محوری، لنگر خمشی و خروج از مرکزی بزرگ تری نسبت به تونل با پوشش قطعه‌ای NS است. در مطالعه فرانزا و همکاران<sup>۴</sup> (۲۰۲۰) [۵] مدل‌های تیر تیموشنکو برای تحلیل مزدوج پاسخ ساختمان به حفر تونل بررسی شده است. نظریه تیر تیموشنکو و روش کرنش کششی محدودشونده در برنامه ASRE برای تحلیل پاسخ ساختمان به حفر تونل با استفاده از یک روش تحلیل دو مرحله‌ای ارجاعی اجرا شده است. همچنین فرانزا و همکاران<sup>۵</sup> (۲۰۱۹) [۶] ارزیابی احتمالاتی خسارت‌های وارد به ساختمان‌ها ناشی از حفاری تونل را ارائه کرده‌اند. نتایج بدست آمده نشان داده‌اند که خصوصیات ارجاعی زمین و ضخامت لایه فوقانی، بیشترین تأثیر را در حرکات زمین و تغییرمکان ساختمان دارند. همچنین فو و همکاران<sup>۶</sup> (۲۰۱۸) [۷] تحلیل عددی پاسخ قاب‌های سازه‌ای به تونل زنی و تغییرشکل‌های القایی زمین حاصل از حفاری آن را ارزیابی کرده‌اند. پاسخ‌های مختلف از دیدگاه اعوجاج زاویه‌ای،

<sup>1</sup> Son and Cording

<sup>2</sup> Zakhem and El Naggar

<sup>3</sup> Cui et al.

<sup>4</sup> Franza et al.

<sup>5</sup> Franco et al.

<sup>6</sup> Fu et al.

## ۱. مقدمه

امروزه در مناطق مترکم جمعیتی شهرها، ساخت شریان‌های حیاتی و خطوط حمل و نقل سریع زیرزمینی امری اجتناب ناپذیر است. از سوی دیگر به علت کمبود زمین و فضای کافی در این نواحی، همواره تعدادی از اینیه احداثی، ناخواسته در حریم یکدیگر قرار می‌گیرند. برای نمونه هم مکانی تونل‌های زیرسطحی و ساختمان‌های سطحی روی آن‌ها، نمونه‌ای از رخداد این حالات است. قرار گرفتن تونل‌های شهری در مجاورت محل احداث اینیه و سازه‌های سطحی، گاهی باعث بروز تغییرشکل‌ها و جابجایی‌های نایمنی در آن‌ها یا در بستر سازه‌های سطحی می‌شود. این جابجایی‌ها، همه موارد بستر خاکی و سنگی (زیرسازه)، سازه (روسازه) و هم تونل را تحت تاثیر قرار می‌دهند. در مطالعات پژوهشی حاضر ایران و دنیا، روش‌های مختلفی برای حل مساله اندرکنش تونل-خاک-ساختمان پیشنهاد شده است، که هر کدام فرضیات مشخصی را وارد محاسبات خود می‌کنند. هدف عمده لحاظ فرضیات مختلف، به نحوی ساده سازی مساله پیچیده و غریج اندرکنش چندگانه سازه-خاک-تونل است. در واقع اندرکنش‌هایی که در این مساله ایجاد می‌شود می‌تواند در مراحل مختلف مابین خاک و سازه، تونل و خاک، سازه و تونل و یا بین هر سه آن‌ها، نتایج مختلف و مجازی ایجاد کند. مطالعات ارزشمندی در سال‌های اخیر در این زمینه انجام شده است. برای مثال در مطالعه کمال حاجی و همکاران (۲۰۱۸) [۱] یک رویکرد طره‌ای (تیر کنسولی) جهت برآورد سختی خمشی ساختمان‌های متأثر از تونل سازی ارائه شده است. سختی خمشی ساختمان پارامتر مهمی در تحلیل برهم کنش تونل-خاک-سازه است. در این مقاله، روشی پیشنهاد شده که در آن پاسخ ساختمان به تونل زنی مربوط به خمش یک تیر طره است و روابطی از نوع تجربی جهت تخمین سختی خمشی ساختمان ارائه شده است. این رهیافت مربوط به حالاتی است که ساختمان عمود بر محور تونل بوده و نزدیکترین لبه آن ساختمان بیش از نیمی از سطح مقطع تونل با آن همپوشانی نداشته باشد. تحلیل دقیق اجزای محدود، برای ارزیابی پاسخ ساختمان‌ها به جابجایی زمین استفاده شده و روابطی ارائه شده که رابطه بین سختی خمشی ساختمان سه بعدی با یک عبارت ریاضی تئوری تیر ساده را فراهم می‌کند. نتایج نشان می‌دهد که طبقه‌های پایین

می‌یابد. در مطالعه ژائو و همکاران (۲۰۱۸) [۱۱] موارد تونل سازی مکانیزه مسبب نشست سازه‌های ساختمانی سطحی و طراحی بهینه راهکارهای رفتارسنجی زمانی مساله شامل کاربرد حساسیت اطلاعات میدانی، تحت ارزیابی قرار گرفته است. در مطالعه میرحبیبی و سروش (۲۰۱۳) [۱۲] اثر نوع مدل‌سازی سه بعدی ساختمان بر نشست زمین ناشی از حفاری-تونل دوقلو، مورد ارزیابی عددی قرار گرفته است. برای این منظور اطلاعات مقطع عرضی تونل متروی شهر شیراز بررسی شده است. ساختمان‌ها معمولاً به عنوان تیرهای ارتجاعی در شبیه سازی اجزای محدود کرنش صفحه‌ای (FE) اندرکش ساختمان-تونل مدل می‌شوند. در تحقیق خیاز و همکاران (۲۰۱۹) [۱۳] اثرات ساخت تونل دوقلو در زیر ساختمان‌های مسکونی واقع بر پی عیق شمعی، در محدوده تجاری مرکز شهر سیدنی در استرالیا مطالعه شده است. برای این منظور مدلی اجزای محدود جهت پیش‌بینی اندرکنش مابین تونل و پی‌های شمعی، توسعه داده شده است. فرآیند ساخت تونل بر حسب توالی ساخت ماشین حفار تونل<sup>۱۰</sup> یا TBM مدل سازی شده است. پس از ترکیب مولفه‌های گوناگون، یک مطالعه فرانسنجی<sup>۱۱</sup> در خصوص رابطه بین محل تونل، زیرزمین‌ها و شمع‌ها انجام شده است. نتایج مقاله نشان می‌دهد که حفاری تونل می‌تواند بارهای محوری و خمشی شمع‌ها را افزایش دهد. در مطالعه ژانگ و همکاران<sup>۱۲</sup> (۲۰۱۵) [۱۴] روش‌های حفاظت از تخریب و ریزش ساختمان‌های تاریخی در محل‌های حفاری تونل، شامل مطالعه موردنی تونل متروی شهر ووهان چین ارائه شده است. در این مقاله تأثیر حفاری تونل در توزیع تنش معادل و اصلی با جزئیات تحلیل شده است. نتایج امکان پذیر بودن روش پیشنهادی و همچنین پتانسیل کاربرد آن را نشان می‌دهد. در مطالعه میرحبیبی و سروش (۲۰۱۲) [۱۵] اثر ساختمان‌های سطحی بر جابجایی‌های ایجاد شده در تونل دوقلو و نشستهای سطحی زمین به علت اثر ساختمان‌ها بررسی شده است. در این مقاله، نویسنده‌گان نتایج یک مطالعه صحرایی درباره داده‌های خط ۱ متروی شیراز را ارائه و مدل‌سازی‌های عددی دو بعدی را ارائه داده‌اند.

تغییرشکل نسبی افقی و الگوی ترک ناحیه‌ای قاب ساختمانی، در برابر حالت‌هایی با سختی زمین مختلف، پارامترهای فصل مشترک خاک-سازه و پیکربندی‌های مختلف پرشدگی قاب سازه‌ای مورد بررسی قرار گرفته‌اند.

در مطالعه گنگ و همکاران<sup>۷</sup> (۲۰۲۰) [۸] اثرات تغییرشکلی منتج از حفاری تونل دوقلوی شهر شانگهای چین بر ساختمان بنایی تاریخی درون این شهر، مستقر بر لایه خاک رس نرم شانگهای، مورد تحقیق قرار گرفته است. نمونه اصلی<sup>۸</sup> آن، خط ۱۱ مترو شانگهای است، که به تازگی در خاک رس شانگهای توسط دو ماشین EPB ساخته شده است. افت حجم نشست سطحی پس از عبور اولین تونل و دو تونل، به ترتیب تقریباً ۰/۰۵۸٪ و ۰/۱۰۲٪ مشاهده شده است. کاتبی و همکاران (۲۰۱۵) [۹] اثرات لایه بندی سطح زمین، وجود تونل و سازه‌های سطحی ساختمانی بر بارگذاری‌های رخ داده شده در سیستم لاینینگ تونل شیلد را مطالعه نمودند. برای این منظور از یک مدل اجزای محدود سه بعدی (3D) در نرم افزار ABAQUS استفاده شده است. طبق نتایج این مطالعه، ساختمان‌های سطحی با تعداد طبقات ۵ طبقه و بیشتر، تأثیر زیادی در بارهای لاینینگ، به ویژه در تونل‌های کم عمق دارند. در مطالعه‌ای از ژائو و همکاران<sup>۹</sup> (۲۰۱۹) [۱۰] پاسخ ساختمان‌ها به فرآیند حفاری تونل سطحی کم عمق در انواع مختلف خاک‌ها، تحت مدل‌سازی قرار گرفته است. این تحقیق با استفاده از روش اجزای محدود (FE) پاسخ‌های حاصل از تونل زمی را در انواع گوناگون خاک‌ها بررسی می‌کند. گروه گسترده‌ای از خاک‌ها، در این مطالعه بررسی شده است. یافته‌های این مطالعه نشان می‌دهد که خاک با مدول ارتجاعی اولیه بزرگ تر، باعث ایجاد تغییر شکل بیشتر و کرنش‌های افقی در ساختمان می‌شود. همچنین با مقایسه نتایج به دست آمده در این مطالعه با نتایج تحلیل دو بعدی 2D، قابلیت اطمینان مدل‌های 2D مورد بررسی قرار گرفته است. مقایسه‌ها نشان می‌دهد که تفاوت بین نتایج با کاهش طول ساختمان و افزایش عمق تونل و وزن ساختمان افزایش

<sup>10</sup> Tunnel boring machine: TBM

<sup>11</sup> Parametric

<sup>12</sup> Zhang et al.

<sup>7</sup> Gong et al.

<sup>8</sup> Prototype

<sup>9</sup> Zhao et al.

سنگین در حدود  $t/m^2$  ۱ است. یعنی برای مثال، یک ساختمان ۱۰ طبقه سرباری یکنواخت-سطحی معادل ۱۰۰ کیلو پاسکال درست در سطح زمین خواهد داشت.

برای توزیع واقعی و یکنواخت تنش سربار ناشی از ساختمان، از یک صفحه تحتانی صلب (ارتجاعی) توزیع کننده تنش با طول ۲۰ متر (تقریباً نزدیک به بُعد پی یک ساختمان واقعی) استفاده شده است. سختی این صفحه واسطه انتقال تنش سربار، معادل سختی یک پی بتن مسلح در نظر گرفته شده است. یعنی با این ساده‌سازی، قاب سازه‌ای ساختمان (بتنی یا فولادی) از محاسبات مدل عددی حذف شده و فقط سربار معادل آن در ست در محل استقرار خود لحاظ شده است. اما مشخصات تونل، سیستم نگه داری بتن مسلح پیرامونی آن و خاک به طور کامل منطبق بر واقعیت مساله، تعریف و شبیه سازی شده است. تونل انتخاب شده جهت مدل‌سازی‌های فراسنجی این مطالعه، مقطع عرضی-بیشینه تونل قطار شهری کرمانشاه است، که فرآیند اجرای مقطع آن از نوع روش جدید تونل زنی اتریشی<sup>۱۴</sup> یا NATM است. مشخصات فراسنج‌های سختی و مقاومتی خاک اطراف تونل توسط مدل رفتاری ارجاعی-خمیری کامل مور-کولمب MC تعریف شده است.

## ۱-۲. بررسی جزئیات مدل‌سازی عددی موضوع تحقیق

در این تحقیق برای مدل‌سازی واقعی تونل در مقاله، از مقطع عرضی واقعی تونل قطار شهری کرمانشاه [۱۹] بهره گرفته شده است.

مدل‌سازی در قالب روش‌های نرم افزاری اجزای محدود دو بعدی PLAXIS 3D TUNNEL [۱۷] و سه بعدی (PLAXIS 2D [۱۸]) با دقت بالایی قابل تعریف و انجام است.

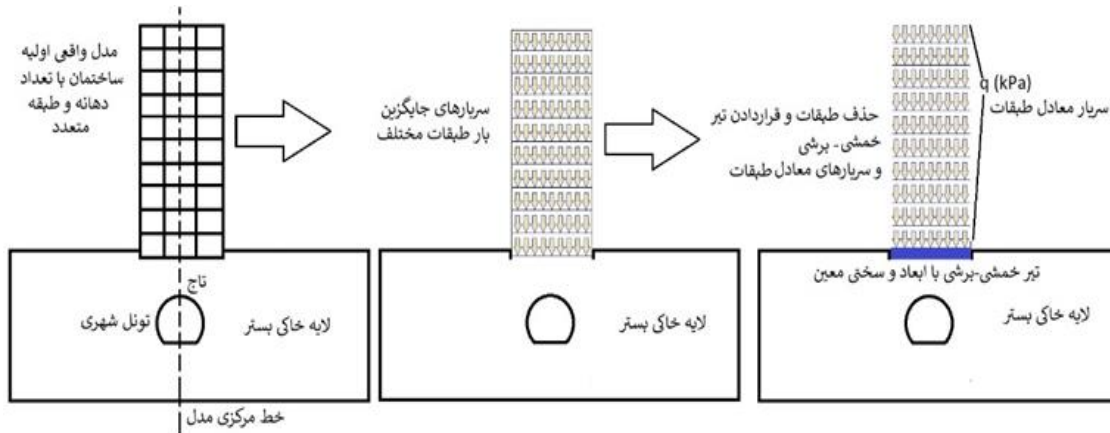
اثرات مواد گوناگونی همانند عمق تونل‌ها و فاصله مرکز تا مرکز آن‌ها، سختی و وزن ساختمان‌ها، عرض و موقعیت آن‌ها، بر سطح بررسی شده است. بر اساس نتایج فراسنج جدیدی با نام "سختی خمی نسبی"<sup>۱۳</sup> برای ترکیب این عوامل با هم، معرفی شده است. در مقاله یانگ و همکاران [۱۶] پیش‌بینی و کاهش اثر ارتعاشات ناشی از حرکت واگن‌های قطار زیرزمینی بر مدل بزرگ-مقیاس ساختمان واقع بر بالای تونل مترو، بررسی شده است. یک روش پیش‌بینی زمانی-فرکانسی دو-مرحله‌ای برای ارتعاشات ناشی از قطار از یک روسازه ارائه شده است. به هر حال، مطابق مطالعات و بررسی‌های جامع صورت گرفته در این زمینه، مساله شبیه سازی اندکنش تونل-خاک-ساختمان با چالش‌های محاسباتی بسیار زیادی همراه است، که به نحوی هدف عمده مطالعه حاضر کاهش تعداد فراسنج‌های دخیل در این موضوع، از طریق ساده سازی‌های منطقی مختلف مساله تحقیق است. به همین دلیل روشی ساده شده و سریع، برای محاسبه حدود تغییرشکل‌ها و نیروهای داخلی سیستم پوشش تونل در این مقاله، برای مقطع عرضی تونل انتخابی در یک مطالعه موردی واقعی پیشنهاد گردیده است.

## ۲. روش‌شناسی تحقیق و معرفی مدل‌های مطالعه

در این مطالعه جهت مدل‌سازی کامل مساله اندکنش ساختمان-تونل-خاک از روشی ساده شده و کاهش یافته بر مبنای تحلیل‌های عددی دو بعدی و سه بعدی اجزای محدود در برخی نرم افزارهای با این توانمندی (برای مثال همانند PLAXIS 2D [۱۷] و PLAXIS 3D TUNNEL [۱۸]) مطابق فرض‌های مندرج در شکل (۱) استفاده شده است. با توجه به اینکه تمرکز مدل‌سازی‌های این تحقیق بر رفتار تغییرشکل-جایگابی تونه خاک بستر و تاج-تونل و تلاش‌های داخلی در سیستم نگه داری بتن مسلح تونل است، اثر ساختمان به طور کلی با یک بارگذاری معادل یکنواخت سطحی جایگزین شده است. به طوری که به ازای هر طبقه از مدل‌های ساختمان، یک سربار معادل روی سطح خاک جایگذاری شده است. این سربار برای هر طبقه معادل  $10 \text{ kPa}$  است، که برابر سربار نسبتاً

<sup>14</sup> New Austrian tunneling method: NATM

<sup>13</sup> Yang et al.



شکل ۱. تعریف فرضیات ساده کننده مساله اندرکنش تونل و ساختمان سطحی با تعداد دهانه و طبقات مختلف

اولین ایستگاه شروع فاز دوم پروژه در قسمت زیرزمینی آن است. همچنین ایستگاه انتهایی بخش زیرزمینی ایستگاه M13 در میدان فردوسی در محدوده‌ی جنوب جغرافیایی شهر کرمانشاه است. از سوی دیگر در حدفاصل ایستگاه M1 تا M6 پروژه مطابق طراحی‌های قبلی، به صورت روزمزینی (اجراهی ستون-پایه و عرشه‌های بتن مسلح) اجرا شده است. از المان‌های مثلثی ۱۵ گره‌ای برای مش بندی مدل تونل و به ویژه خاک پیرامون آن استفاده شده است.

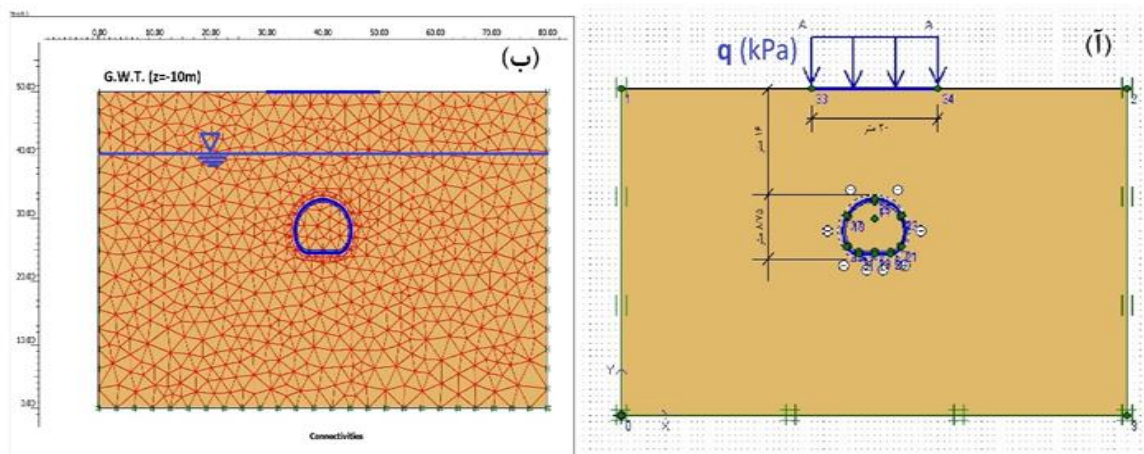
مدل عددی ساده اجزای محدود مقطع عرضی بیشینه تونل مطالعه موردنی (قطار شهری کرمانشاه)، در شکل (۳) نمایش داده شده است. بر اساس شکل (۳) سربار  $q$  بر حسب کیلوپاسکال معادل وزن ساختمان‌های سطحی با تعداد طبقات مختلف است، که برای هر طبقه در حدود  $10 \text{ kPa}$  (معادل حدود  $1 \text{ ton/m}^2$ ) تنظیم شده است. شرایط مرزی مدل، شامل تکیه‌گاه غلطکی در کناره‌ها و تکیه گاه مفصلی در کف مدل عددی دو بعدی کرنش-مسطح است. در طرح قطار شهری کرمانشاه، ایستگاه چهارراه بسیج (ایستگاه M7)



شکل ۲. مقایسه تصویر ماهواره‌ای و نیز مسیر روزمزینی-زیرزمینی ایستگاه‌های ۱۳گانه قطار شهری کرمانشاه [۱۹]

عرضی-بیشینه پیشنهادی تونل قطار شهری شهر کرمانشاه نشان شده است. بر اساس آن، ارتفاع کلی (قطر) داخل تونل  $8/75$  متر، ارتفاع سربار خاکی روی آن  $16$  متر، عمق آب زیرزمینی در ژرفای  $10$  متری از سطح زمین و مصالح پوشش تونل از نوع بتن مسلح با دو ضخامت مختلف فرض شده است [۱۹].

گام‌های مدل سازی تعريف لایه خاک، حفاری بخش‌های داخلی تونل NATM و تعريف سربارها و پوشش بتنی تونل در  $10$  مرحله متواالی در نرم افزار انجام شده است [۱۹]. این  $10$  مرحله شامل بخش‌های تعريف مدل خاک، سطح آب زیرزمینی (سطح ایستابی)، ایجاد سربار معادل سازه سطحی، حفاری بخش‌های مختلف مقطع عرضی تونل NATM است در این قسمت و در شکل (۴) مقطع



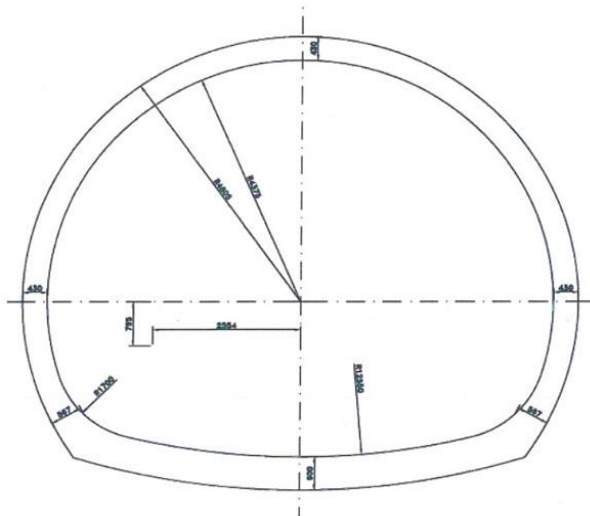
شکل ۳. مدل‌سازی ساده شده دو بعدی: (آ) ابعاد کلی مدل تونل نعل اسبی، (ب) شرایط مرزی و مش بندی اجزای محدود آن

است. مطابق این یافته اکتشافی، لایه‌های زیرسطحی خاک در طول مسیر حفاری تونل عموماً مشتمل از رس لاغر CL، شن رس دار GC و ماسه رس دار SC با سطح آب زیرزمینی بالا و نسبتاً بالا است [۱۹]. مساله مهم در پروفیل‌طولی زیرسطحی این پروژه، درجه اشباع بالای لایه‌های خاک در غالب مسیر حفاری زیرزمینی وجود تراز آب زیرزمینی مشخص در بیشتر طول مسیر پروفیل طولی پروژه است. این موضوع باعث نشت شدید آب در مقاطع حفاری شده در حین عملیات اجرای تونل NATM شده است، که به نوبه خود روند ادامه حفاری را با دشواری مواجه کرده است. همچنین مطابق پروفیل طولی نمایش داده شده در شکل (۵) تراز ارتفاعی بین ایستگاه شروع حفاری تونل M7 تا ایستگاه پایان حفاری M13 افزایشی است و نشان از کاهش طبیعی و ناخواسته مقادیر سربار

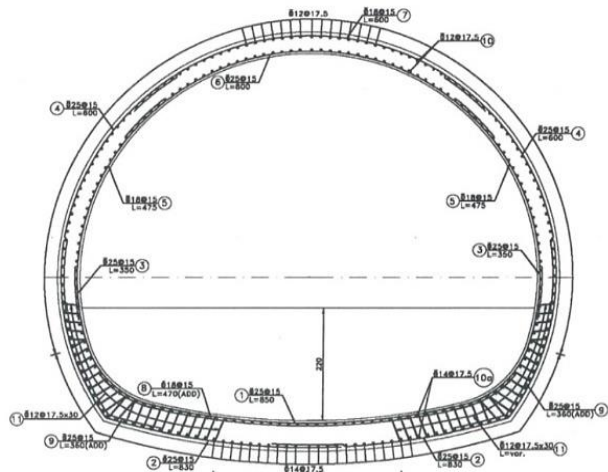
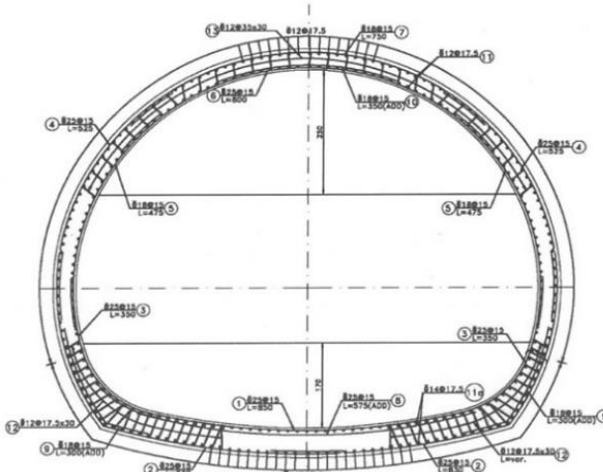
مطابق شکل (۴) ضخامت پوشش بتن مسلح تونل در بخش طاق (تاج تونل) و سقف تونل  $43\text{ cm}$  و در بخش کف تونل  $60\text{ cm}$  منظور شده است. این مقاطع با ضخامت‌های ذکر شده، بر حسب مصالح بتن مسلح شده با شبکه میلگرد، طراحی و اجرا شده‌اند. جایگذاری آرماتورهای لازم برای مقابله با بارهای محوری، برشی و لنگر خمی، در این ضخامت‌های بتنی انجام شده است. در ادامه، در بخش‌های پایینی شکل (۴) نمونه‌ای از آرماتورگذاری پیشنهادی حساب شده (موردنیاز) تیپ ۱ و تیپ ۲ (بر اساس ترکیبات بارگذاری مختلف وارد بر تونل) برای مقطع عرضی تونل بر اساس آرماتور محاسباتی مقاطع سه گانه را نشان می‌دهد [۱۹]. در شکل (۵) پروفیل طولی زیرسطحی زمین در طول  $5/5$  کیلومتر بخش زیرزمینی قطار شهری از ایستگاه M7 تا M13 به نمایش درآمده

مقادیر ۱۴۰۰ متر در جنوب شهر (آخرین ایستگاه حفاری تونل) در تغییر است.

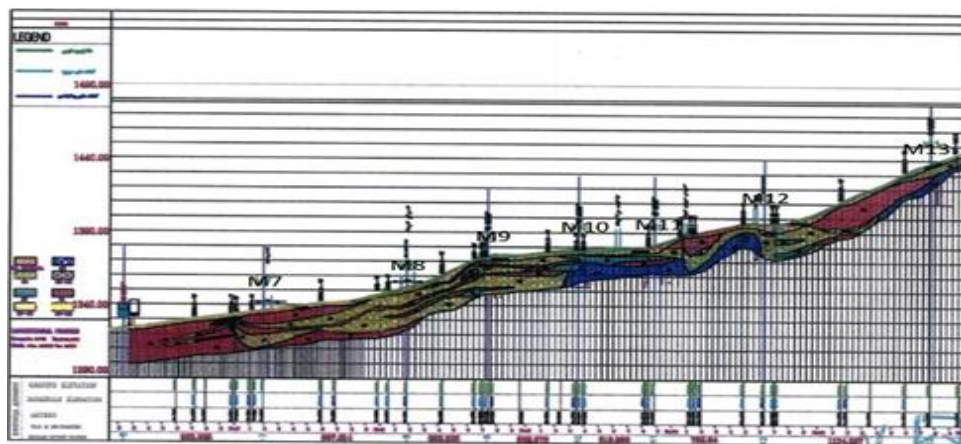
لایه‌های خاک سطحی (کاهش ضخامت آبرفت) در مسیر تونل از مرکز به بخش جنوب شهر کرمانشاه دارد. تغییرات این تراز ارتفاعی از حدود ۱۳۰۰ متر (بالای سطح دریای آزاد) در مرکز شهر تا حدود



هندسه مقطع پیشنهادی برای سازه تونل



شکل ۴. در بالا مقطع عرضی طراحی شده (راست) و (چپ) اجراشده در تونل نعل اسبی NATM بخش زیرزمینی قطار شهری کرمانشاه و پایین: آرماتورگذاری پیشنهادی (راست) تیپ ۲ (چپ) تیپ ۱ بر اساس آرماتور محاسباتی مقاطع سه گانه تونل [۱۹]



شکل ۵. پروفیل طولی زمین شناسی و زیرسطحی مسیر تونل قطار شهری مابین ایستگاه‌های فاز دوم M7 تا M13 [۱۹]

مطابق این شکل با افزایش سربار از حالت میدان-آزاد (یا  $q=0$ ) تا حالت ساختمان ۱۰۰ طبقه (سربار  $1000 \text{ kPa}$ ) مقادیر نشست‌ها افزایش یافته و محل-علامت (راستای) تغییر‌شکل‌های غالب در کف و تاج تونل، عوض می‌شود. به طوری که تغییر‌شکل‌های تورمی کف تونل با افزایش سربار ساختمان سطحی کاهش یافته و به مقادیر نشست‌های رو به پایین بالای سقف تونل افزوده می‌گردد. میزان نشست‌های مدل میدان-آزاد (بدون لحاظ سرباره سازه) از حدود ۴۰ تا ۵۰ میلی متر شروع می‌شود (نشست‌های بالای حفاری تونل در اثر وزن خود لایه‌های خاکی) و برای سربار سازه ۱۰۰ طبقه (معادل بار  $1000 \text{ kPa}$ ، مقادیر نشست به بیش از ۴۰۰ میلی متر می‌رسد). این بدین معنی است که ساختمان بلندمرتبه ۱۰۰ طبقه می‌تواند در مقایسه با حالت عدم وجود سربار ساختمان سطحی، باعث افزایش نشست‌ها در لایه خاک بالای تونل تا حد ۹۰٪ (برابر) شود. از سویی مطابق کانتورهای رنگی درون شکل (۶) با افزایش تنفس سربار سطحی، تمرکز جابجایی‌های قائم در تاج تونل نسبت به کف تونل افزایش می‌یابد.

## ۲-۲. پارامترهای مدل‌سازی خاک و مقطع عرضی تونل NATM و بررسی خروجی‌های گرافیکی تحقیق

در جداول (۱) و (۲) پارامترهای مدل‌سازی توده خاکی اطراف تونل در مقاله حاضر که منطبق بر معیار مقاومت برشی مور-کولمب هستند، ارائه شده است. زاویه اتساع خاک در این مدل‌سازی برابر صفر درجه فرض شده است، چرا که توده‌های خاکی مهم در مسیر تونل مقادیر بالایی از زاویه اصطکاک داخلی را نشان نمی‌دهد و فرض قانون جریان خمیری ناهمراه<sup>۱۵</sup> (یعنی NAFR) با تقریب خوبی همراه است. از سوی دیگر در جدول (۱) بار روباره (سربار) وارد بر سازه تونل که توسط روش پیشنهادی ترزاقی محاسبه شده، هم ارائه شده است. از سویی علت استفاده از مدل مور-کولمب این است که هدف اساسی این مطالعه بر شبیه سازی ساده شده رفتار اندرکنشی خاک-تونل-ساختمان معطوف شده است و موضوعات مرتبط با مدل رفتاری و میزان دقت آن در تخمین میزان واقعی این اندرکنش محل تمرکز مطالعه حاضر نیست.

در شکل (۶) نمونه منحنی‌های کانتوری جابجایی عمودی (نشست) لایه خاک اطراف و بالای تونل (بخش تاج تونل) در اثر اعمال سربارهای مختلف معادل سازه‌های سطحی نمایش داده شده است.

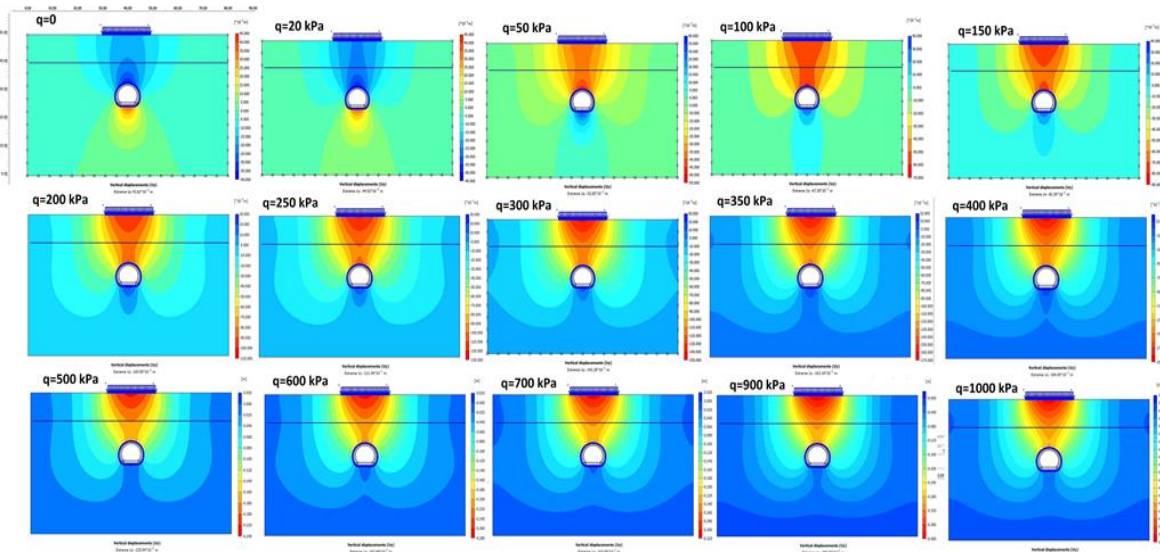
<sup>۱۵</sup> Non-associated flow rule (NAFR)

جدول ۱. جدول بار وارد بر سازه تونل نعل اسپی در مقاطع مختلف طراحی آن بر اساس روش محاسباتی ترزاچی [۱۹]

مقطع تونل	رویاره بر حسب متر (ارتفاع مصالح)	چگالی طبیعی خاک (ton/m <sup>3</sup> )	چسبندگی خاک (ton/m <sup>2</sup> )	زاویه اصطکاک داخلی خاک (deg)	ضریب فشار جانبی خاک در حالت سکون (K <sub>0</sub> )	ارتفاع زون سست شده (به متر)	بار محاسبه شده توسط روش ترزاچی (ton.m <sup>2</sup> )
۱	۸/۰	۱/۹۱	۳/۲۰۰	۲۵/۸۸	۰/۵۶	۸/۰۰	۱۵/۲۸
۲	۱۴/۵	۱/۹۷	۲/۰۰۰	۲۶/۶۸	۰/۵۲	۱۰/۰۰	۱۹/۷۰
۳	۲۱/۰	۲/۰۶	۱/۰۳۲	۳۲/۰۰	۰/۴۷	۱۲/۲۲	۲۷/۲۳

جدول ۲. مشخصات لایه های مختلف خاکی متلاقي با مسیر تونل قطار شهری در حدفاصل ۱/۵ کیلومتر ابتدای آن [۱۹]

ردیف	واحد زمین شناسی بر اساس USCS	حدود چگالی طبیعی خاک (g/cm <sup>3</sup> )	چسبندگی خاک C (kg/cm <sup>2</sup> )	زاویه اصطکاک داخلی φ (deg)	ضریب فشار جانبی خاک در حالت سکون K <sub>0=1</sub> -sin φ	نسبت پواسون v (-)	مدول ارجاعی E (MPa)
۱	CL (SPT≤ 32)	۱/۶۷-۱/۸۹	۰/۳۲-۰/۳۹	۲۲-۲۴	۰/۶۰	۰/۳۸	۹/۶۰
۲	CL (SPT> 32)	۱/۷۸-۱/۹۴	۰/۲۵-۰/۳۹	۲۲/۵-۲۵/۵	۰/۵/۰۰	۰/۳۷	۱۵/۰۰
۳	GC (SPT> 50)	۱/۹۸-۲/۲۳	۰/۰۲-۰/۰۹	۳۲/۵-۳۵/۰	۰/۳۱	۰/۴۴	۶۷/۲۰
۴	GC (SPT≤ 50)	۱/۹۵-۲/۰۰	۰/۰۱-۰/۰۶	۳۱/۵-۳۲/۵	۰/۳۲	۰/۴۷	۴۳/۲۰
۵	SC (SPT> 50)	۲/۰۱-۲/۰۶	۰/۰۳-۰/۰۷	۳۳/۰	۰/۳۱	۰/۴۵	۲۰/۸۰
۶	SC (SPT≤ 50)	۱/۹۵-۲/۰۸	۰/۰۵-۰/۰۶	۳۱/۵-۳۲/۵	۰/۳۲	۰/۴۷	۱۴/۴۰
۷	GP	۲/۱۵-۲/۲۴	۰/۰-۰/۰۱	۳۶/۰-۳۶/۵	۰/۲۹	۰/۴۱	۱۳۷/۵۰

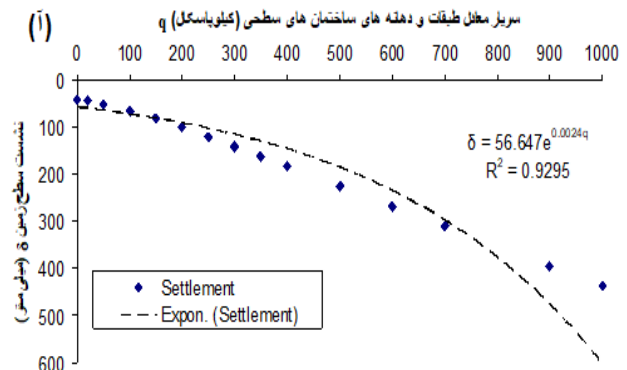
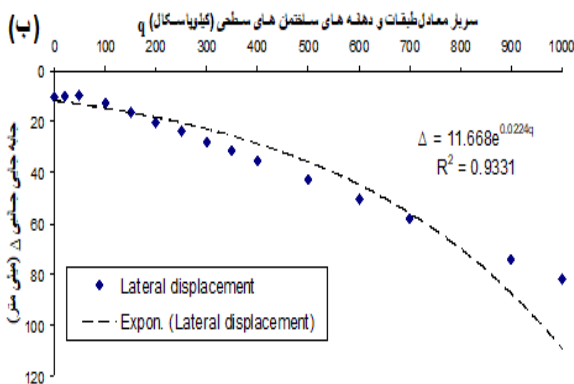


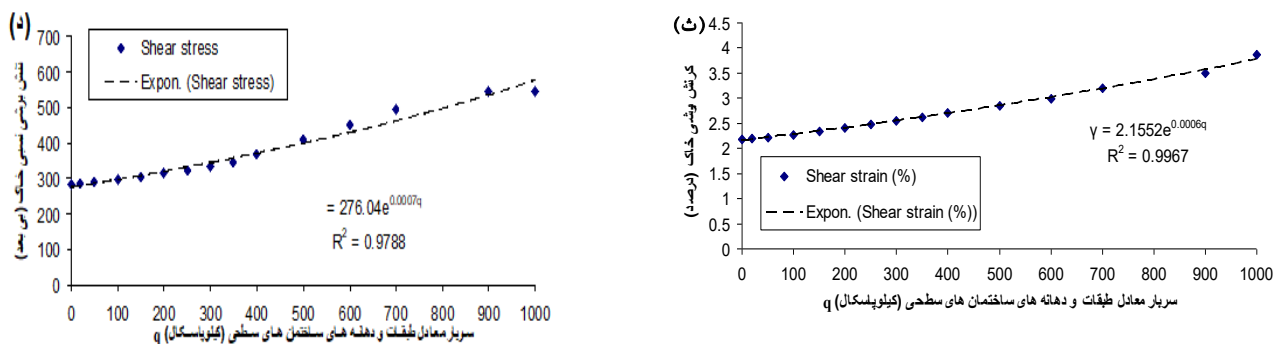
شکل ۶. نمونه منحنی های کانتوری جابجایی عمودی (نشست) لایه خاک اطراف تونل در اثر اعمال سرباره های مختلف معادل سازه ها

بیشینه مقدار حدود ۱۰۰ میلی متر را نشان می‌دهد، که حدود ۲۵٪ بیشینه مقدار جابجایی قائم مدل (نشست) است. این مقدار از جابجایی افقی برای ساخت و ساز طبقات منفی در ساختمان‌های بلندمرتبه آتی در مجاورت تونل قطار شهری، مشکل ساز خواهد بود و قطعاً باعث رانش و حرکت جانبی دیوارهای خاکی خواهد شد. بر حسب شکل ۷-(ج) کرنش برشی بیشینه در خاک مجاور تونل برای تغییرات سریار سطحی از صفر تا ۱۰۰۰ kPa از حدود ۲٪ تا ۴٪ در قالب یکتابع نمایی افزایشی (صعودی) تغییر است. افزون بر آن تنش برشی متناظر با این کرنش‌های برشی در شکل ۷-(د) از مقدار ۳۰۰ kPa تا ۶۰۰ kPa در تغییر افزایشی-صعودی است، که همانند فراسنج کرنش برشی محدوده تغییرات چندان بزرگی را نشان نمی‌دهد. آنچه که در همه نمودارهای جابجایی، تنش-کرنش برشی در شکل ۷ پدیدار و آشکار است، موضوع دقت بالای تابع نمایی ساده پیشنهادی جهت تقریب تغییرات افزایشی هر یک از این فراسنج‌ها است. آنچه که در همه بخش‌های شکل (۷) به صورت بدیهی قابل ملاحظه است این است که روند تغییرات جابجایی‌ها نسبت به تغییرات تنش و کرنش برشی با اثر سریار بسیار تندتر و ملموس‌تر است.

### ۳. تحلیل و تفسیر نتایج تحقیق

مطابق شکل (۷) نمودارهای مختلف پاسخ خاک روباره تونل به ازای تغییر در تنش سریار ساختمان‌های مدل در سطح زمین (مقادیر معادل ساده شده) برای فراسنج‌های متفاوت نشست، جابجایی جانبی (افقی)، کرنش برشی و تنش برشی ارائه شده است. بر اساس یافته‌های این شکل، در غالب موارد مورد مطالعه، یک رابطه ریاضی تابع نمایی با دقت برازش بالا (با ضریب تعیین<sup>2</sup> R<sup>2</sup> نزدیک به عدد ۱) بدست آمده است. خوشبختانه این رابطه نمایی برای همگی فراسنج‌ها قابل محاسبه است و فقط مقادیر کمی ضرایب و توان‌های آن متفاوت است. در شکل ۷-(آ) نمودار نمایی نشت سطح زمین در برابر تغییرات افزایشی سریار ساختمان سطحی ترسیم شده است. بر اساس این نمودار محدوده نشت‌های بین ۴۰ میلی متر تا حدود ۴۵۰ میلی متر در تغییر است. این نمودار نشان می‌دهد که برای ساخت و سازهای آتی تا حد سریار ساختمان بلندمرتبه ۴۰ طبقه، میزان نشت در حدود ۲۰۰ میلی متر خواهد بود. و با افزایش تعداد طبقات از ۴۰ تا ۱۰۰ طبقه (برای ۶۰ طبقه اضافی بعدی مفروض) این مقدار رشدی حدود دو برابری و تا حد ۴۰۰ تا ۴۵۰ میلی متر خواهد داشت. از سویی مطابق نمودار برازش داده شده در شکل ۷-(ب) جابجایی جانبی (افقی) لایه خاک بالای تاج تونل

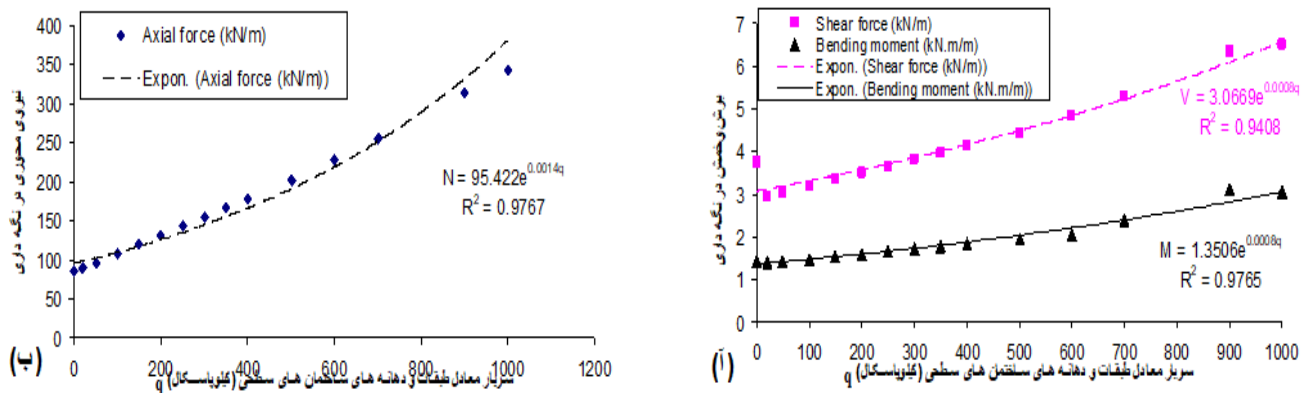




شکل ۷. نمودار نمایی پارامترهای پاسخ خاک روباره تونل به ازای تغییر در تنش سربار ساختمان: (آ) نشست، (ب) جابه جایی جانبی، (ج) کرنش برشی، (د) تنش برشی

مطابق شکل ۸-(آ) تغییرات نیروی برشی سیستم بتن مسلح پوشش تونل از حدود ۷kN/m تا ۳kN/m در تغییر است. از طرفی مقادیر لنگر خمثی پوشش بتن مسلح تونل (در واحد طول تونل) نیز بین مقادیر  $1/3$  kN.m/m تا حدود  $3$  kN.m/m در تغییر است.تابع برآذش این دو فراستنچ نیز نمایی و صعودی با دقت تقریب بالا است. نمودار مشابهی در شکل ۸-(ب) برای تغییرات نمایی نیروی محوری پوشش بتن مسلح تونل بدست آمده است.

به طور مشابهی در نمودارهای شکل (۸) تغییرات مقادیر سربار ساختمان سطحی واقع بر روی تونل در مقابل نیروهای داخلی سیستم نگه داری (پوشش بتن مسلح تونل زیرزمینی) شامل شکل ۸-(آ) نیروی برشی و لنگر خمثی و در شکل ۸-(ب) نیروی محوری در واحد طول تونل ترسیم شده است. مطابق این شکل، بازهم می‌توان با تعریف یک رابطه ساده و کوتاه نمایی با دقت برآذش بسیار بالا (ضریب تعیین  $R^2$  بیش از  $0.94$ )، ارتباط ریاضی بین نیروی برشی و لنگر خمثی و نیز نیروی محوری درون پوشش تونل با مقادیر تغییرات افزایشی سربار ساختمان‌های سطحی برقرار کرد.



شکل ۸. تغییرات سربار سطحی در مقابل نیروهای پوشش تونل: (آ) نیروی برشی و لنگر خمثی، (ب) نیروی محوری

و آکپینار<sup>۱۸</sup> داده شده است [۲۰]. مورد مهم آنست که ویژگی‌های مقاومتی هر دوی این توده‌های سنگی به هم نزدیک بوده و هر دو جنس سنگ، بسیار ضعیف با عرض ایجاد خواص منفی تورم<sup>۱۹</sup> و مچاله شوندگی<sup>۲۰</sup> به ترتیب در کف و سقف تونل همراهاند. اما با توجه به شرایط تونل و اطلاعات مندرج در مطالعه مرجع [۲۰] و این که عده ترک‌ها و تغییر شکل‌ها در دیواره سمت راست تونل که از سنگ نوع پورسوك تشکیل شده، اتفاق افتاده است، پس مشخصات مقاومتی این نوع سنگ برای اطمینان جهت مدل‌سازی توده سنگی در نرم افزار بکار گرفته شده است [۲۰]. در مرجع انتخابی [۲۰] مدل‌سازی تونل با شیوه تونل زنی NATM در توده سنگی درزه دار در ۱۱ مرحله (۱۱ فاز محاسباتی مجرزا و متوالی) انجام شده است، که دقیقاً همان ۱۱ مرحله با راعیت ترتیب فازها در مدل‌های دو و سه بعدی اجزای محدود صحت سنجی مطالعه حاضر دوباره شبیه سازی و اجرا شده‌اند. اثرات زیست محیطی منفی ناشی از ساخت سد ارائه می‌کند. در واقع نوآوری این پژوهش ارزیابی اثرات زیست محیطی سد آبرسانده به روش ماتریس لئوپولد ایرانی می‌باشد. جدول ۲، مقایسه ماتریس‌های گوناگون را نشان می‌دهد. هدف بخش صحت سنجی مقاله، کنترل کمی و کیفی مدل‌سازی عددی دو بعدی تونل NATM و نیز بررسی درستی نتایج و عملکرد نرم افزار [۱۷] است. مقطع عرضی تونل و روش تعریف حفاری آن کاملاً شبیه تونل مورد بررسی در تحلیل‌های بخش‌های قبلی این مقاله است. مقادیر تغییر شکل‌های قائم و کلی تاج و کف تونل در مدل‌سازی‌های مرجع [۲۰] و نیز قسمت حاضر از تحقیق موضوع اصلی مورد بررسی بوده است. در مرجع [۲۰] "جایجایی عمودی تونل بعد از نصب نگه داری نوع NDSS بین ۱۳۸ تا ۱۵۰ میلی متر" بیان شده، که در تحلیل دو بعدی مطالعه حاضر مطابق شکل (۱۰) مقدار بیشینه برابر mm ۱۴۰ حاصل شده است. همچنین میزان بیشینه جایجایی قائم از اندازه گیری‌های پاییش میدانی ۱۵۰ mm [۲۰] مشخص شده که در نتایج مقاله حاضر نیز میزان ۱۰ mm (با طیف رنگ سرد-آبی) و تقریباً ۱۴۰ mm (با رنگ گرم-قرمز) بدست آمده است، که هماهنگی و

#### ۴. صحت سنجی مدل عددی اندرکنش تونل-لایه خاک

برای صحت سنجی مساله مدل تونل NATM و بررسی درستی مدل‌سازی‌های نرم افزاری اجزای محدود [۱۷] مدل میدانی-عددی متناسبی از یک مقاله مرجع [۲۰] شامل نوع تونل با شرایط تونل زنی مشابه NATM انتخاب شده است. در مقاله مرجع انتخابی [۲۰] گام‌های حفر تونل NATM کاملاً مدل‌سازی شده، همچنین مدل رفتاری بکاررفته در مطالعه مرجع [۲۰] دقیقاً مشابه مدل مور-کولمب است، با این تفاوت که بر مبنای مدل مور-کولمب جهت لحاظ شرایط توده سنگی درزه دار بسط و تعیین داده شده است. در مقاله مرجع انتخابی برای صحت سنجی نتایج میدانی [۲۰] مدل سنگ درزه دار<sup>۱۶</sup> JRM بکار رفته است. مدل سنگ درزه دار JRM یک مدل الاستوپلاستیک کامل انیزوتropیک (ناهمسانگرد) است [۲۰]. در مدل JRM شکست مصالح توده سنگی درزه دار به کمک فراسنج‌های مقاومتی مدل الاستوپلاستیک کامل مور-کولمب تعریف می‌شود، که این فراسنج‌ها شامل چسبندگی<sup>۱۷</sup>، زاویه

اصطکاک داخلی  $\varphi$  و زاویه اتساع  $\psi$  خاک هستند. افزون بر آن فراسنج‌های معرف سختی خاک در JRM همان فراسنج‌های مدل الاستیک (ارتجاعی) از قبیل مدول ارجاعی E و نسبت پواسون  $\nu$  هستند (فراسنج‌های E<sub>1</sub> و  $\nu_1$ ). در مدل JRM به منظور تعریف فراسنج‌های سختی خاک در صفحه عرضی ناهمسانگردی (انیزوتropی) از مدل الاستیک، نسبت پواسون و مدول برشی با زیرنویس شماره ۲ استفاده می‌گردد (یعنی فراسنج‌های E<sub>2</sub>،  $\nu_2$  و G<sub>2</sub>). همچنین جهت تعریف صفحات ناهمسانگردی در توده سنگ درزه دار، تا میزان ۳ صفحه مختلف توسط تعریف زاویه شبیه صفحه درزه یا زاویه  $\alpha_1$  و زاویه جهت شبیه صفحه درزه  $\alpha_2$  در این مدل رفتاری قابل تعریف هستند.

۱-۴. ارائه جزئیات مدل‌سازی و نتایج خروجی حاصل از مدل صحت سنجی تحقیق در جدول (۱) فراسنج‌های توده سنگ ضعیف درزه دار مقاله مرجع [۲۰] برای دو جنس سنگ موجود در مدل تونل پورسوك<sup>۱۷</sup>

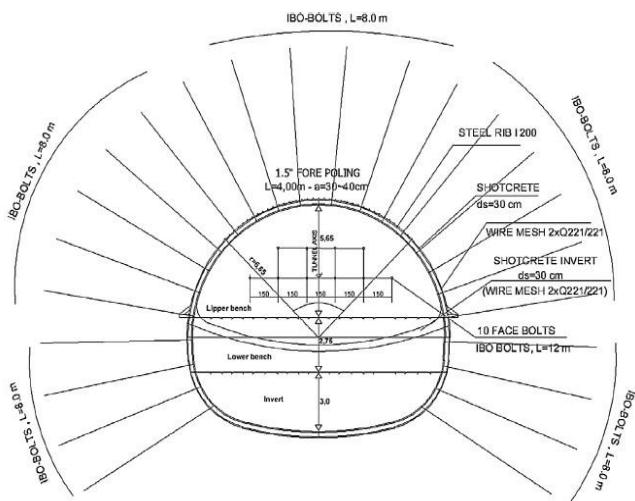
<sup>18</sup> Akpinar

<sup>19</sup> swelling

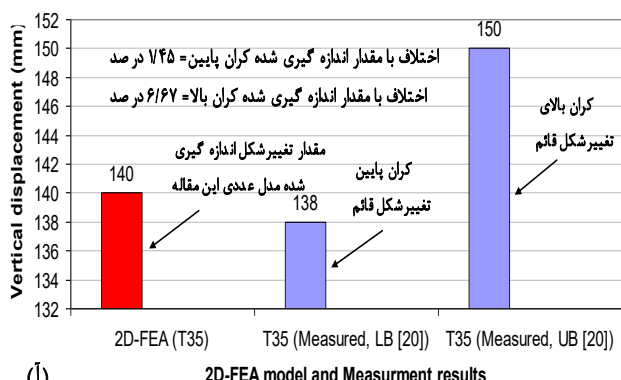
<sup>20</sup> squeezing

<sup>16</sup> Jointed Rock Mass Model: JRM

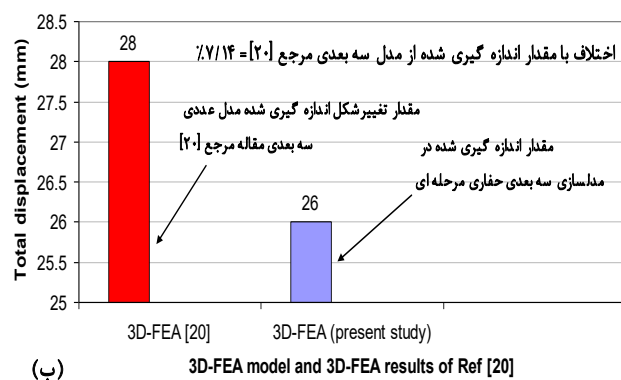
<sup>17</sup> Porsuk



شکل ۹. سیستم نوین پوشش (نگه داری) بدون-تغییرشکل طراحی شده در تونل  
جهت صحت سنجی مقاله حاضر T35



(ا) 2D-FEA model and Measurment results



شکل ۱۰. مقایسه اختلاف بین نتایج: (ا) جابه جایی قائم اجزای محدود دو بعدی  
این مطالعه و اندازه گیری شده مرجع [۲۰]؛ (ب) نتایج جابه جایی کل مدل سه  
بعدی این مقاله و مدل سه بعدی مقاله مرجع [۲۰]

توافق بسیار مناسبی را با نتایج میدانی (صحرابی) حاصل از اندازه گیری‌های محلی مقاله مرجع [۲۰] بدست می‌دهد. بر این اساس مطابق شکل ۱۰-(آ) و نتایج گرافیکی کانتوری شکل (۱۱) اختلاف بین نتایج عددی اجزای محدود دو بعدی این مقاله برای جابه جایی قائم مدل با مقادیر میدانی اندازه گیری شده کران بالا برای تونل مدل واقعی T35 مرجع [۲۰] برابر ۶/۶۷٪ و با مقادیر میدانی اندازه گیری شده کران پایین آن اختلاف آن به میزان ۱/۴۵٪ است. از طرفی مطابق نتایج مندرج در شکل ۱۰-(ب) و نیز نتایج کانتوری موجود در شکل (۱۲) اختلاف بین نتایج تحلیل عرضی تونل T35 و نتایج بعدی مقاله مرجع [۲۰] برای مقطع عرضی تونل کران بالا محدود سه اجزای محدود سه بعدی این مطالعه برای تغییر شکل کلی مدل در روند شبیه سازی پیشافت گام به گام حفاری مرحله‌ای روش تونل زنی NATM (حفاری مرحله‌ای بخش‌های تاج<sup>۲۱</sup> (کراون)، بنج<sup>۲۲</sup> و اینورت<sup>۲۳</sup> مقطع عرضی بیشینه تونل) برابر مقدار ناچیز ۷/۱۴٪، بدست آمده است. نتایج تحلیل‌های سه بعدی شکل (۱۲) هم رضایت بخشی خوبی دارند.

جدول ۳. مشخصات توده‌های سنگی در حال حفاری در مطالعات فراسنجی  
مطالعه مرجع [۲۰] و جهت صحت سنجی نتایج حاضر

فراسنج‌های مدل‌های رفتاری مصالح (جهت صحت سنجی)	یکای فراسنج	مدل رفتاری (جهت صحت سنجی)
مدول (ضریب) ارجاعی	E(MPa)	E <sub>1</sub> =86.15, E <sub>2</sub> /G <sub>2</sub> =2.64
وزن مخصوص اشباع و مرطوب (طبیعی)	$\gamma_t$ و $\gamma_{sat}$ (kN/m <sup>3</sup> ) (kN/m <sup>3</sup> )	۱۹/۰۶ و ۲۰/۵۲
چسبندگی	C (kPa)	C <sub>1</sub> =0.068, C <sub>2</sub> =0.072
زاویه اصطکاک داخلی	$\phi$ (deg)	$\varphi_1=31$ , $\varphi_2=24$
نسبت پواسون	$\nu$ (-)	$\nu_1=0.29$ , $\nu_2=0.32$
ضریب فشار جانبی حالت عادی تحکیم NC	K <sub>0</sub> (-)	۰/۴۰.۸
شیب/جهت شیب درزه ها ( $\alpha_1, \alpha_2$ )	Dip/dip direction (deg)	$\alpha_{1,1}=66$ , $\alpha_{2,1}=22$ , $\alpha_{1,2}=70$ , $\alpha_{2,2}=40.0$
مقاومت فشاری تک محوری	UCS (MPa)	۰/۱۱۵

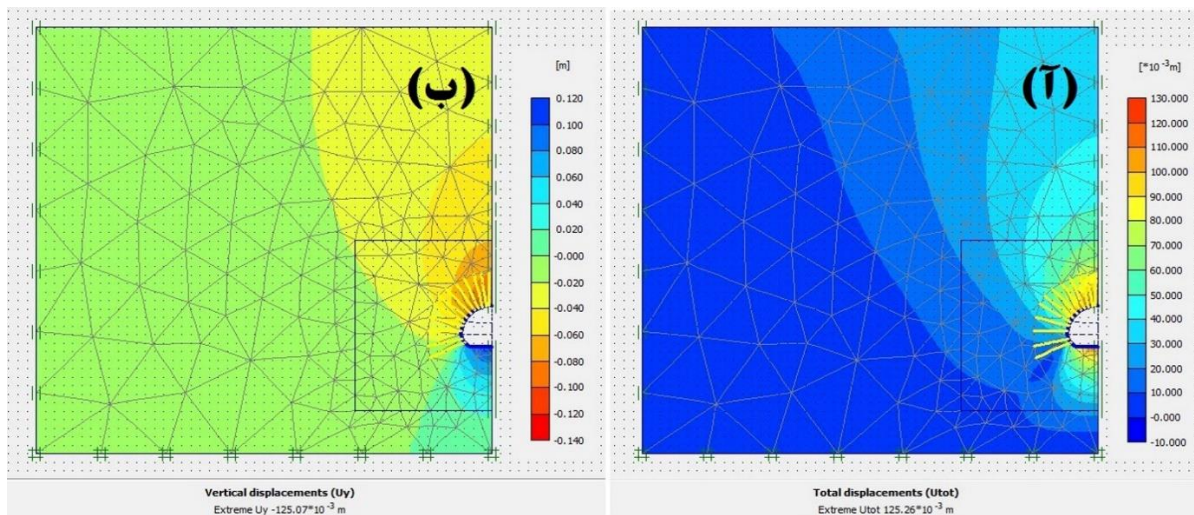
<sup>21</sup> Crown

<sup>22</sup> Bench

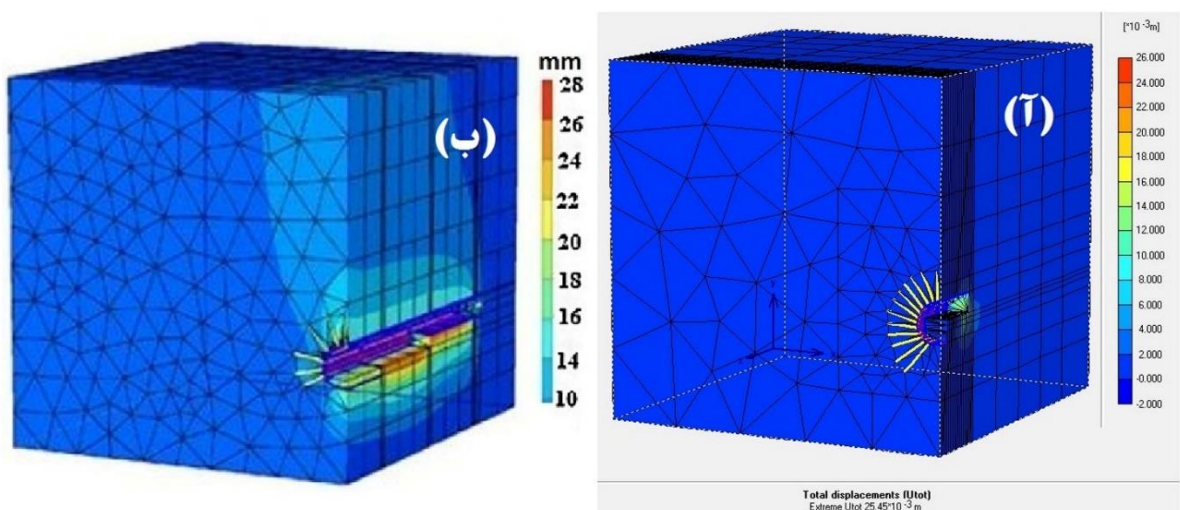
<sup>23</sup> Invert

جدول ۴. مشخصات المان های سازه ای موجود در مدل های عددی اجزای محدود دو و سه بعدی [۲۰].

نسبت پواسون $\nu$ (-)	وزن واحد طول $w$ (kN/m/m)	سختی خمشی $EI$ (kN.m <sup>2</sup> /m)	سختی محوری $EA$ (kN/m)	نوع رفتار	مصالح
۰/۱۵	۹/۶	۱۷۷۰.۶۶	۱۳۲۸۰۰۰	ارتجاعی خطی	شاتکریت بتی
۰/۱۵	-	-	۵۶۷۰۰	ارتجاعی خطی	راک بولت (پیچ سنگ)



شکل ۱۱. تغییر مکان (آ) کلی و (ب) قائم برای تونل T35 (بین ۱۳/۸ تا ۱۵/۰ سانتی متر در تاج) [۲۰] توسط روش اجزای محدود دو بعدی



شکل ۱۲. تغییر مکان (آ) کلی (نتیجه مطالعه حاضر) و (ب) کلی (از مرجع [۲۰] برای تونل T35 توسط روش اجزا محدود سه بعدی

۵- مطابق یافته‌های این مطالعه، میزان جابجایی قائم (نشست) توده خاک بالای تاج تونل که یک تغییرات افزایشی نمایی با افزایش سربار سطحی دارد، در مدل‌های عددی این مطالعه حدود ۴ برابر جابجایی‌های افقی بدست آمده است. علت عدمه این مساله اثر تنש‌های محصورکننده افقی در توده خاک نسبت به تنش‌های قائم ثقلی (وزنی) سربار است، که البته با روند حفاری تونل و تغییرات سربار ساختمان سطحی و موقع شرایط غیرقابل پیش‌بینی و رخداد ناپایداری حفاری تونل (برخورد به لایه‌های خاکی با شرایط خاص)، می‌تواند تعادل آن به کلی به هم خورده و جابجایی-ناپایداری جانبی توده خاکی نیز تا آستانه مقادیر نشست‌ها افزایش یابد.

۶- با توجه به ابعاد بسیار بزرگ پروژه‌های تونل سازی و حفاری، تعیین مقادیر و اثرات تغییر شکلی در خاک با دقت و تقریبی قابل قبول، می‌تواند نقش مهمی در جلوگیری از موقع موارد ناپایداری و فجایع مرتبط با این‌منی این سازه و ابنيه مجاور آن داشته باشد.

## ۶ منابع

- [1] Kamal Haji, T. Marshall, A.M. W. Tizani, T. (2018). "A cantilever approach to estimate bending stiffness of buildings affected by tunnelling," *Tunn Undergr Space Technol*, 71, pp 47-61.
- [2] Son, M. Cording, E.J. (2020). "Estimation of building damage in a 3D distorting structure to tunnel and underground excavation-induced ground movements," *Tunn Undergr Space Technol*, 97, 103222.
- [3] Zakhem, A.M., El Naggar, H. (2020). "Three-dimensional investigation of how newly constructed buildings supported on raft foundations affect pre-existing tunnels," *Transportation Geotechnics*, 22, 100324.
- [4] Cui, G. Cui, J. Fang, Y. Chen, Z. and Wang, H. (2019). "Scaled model tests on segmental linings of shield tunnels under earth and water pressures," *International Journal of Physical Modelling in Geotechnics*.
- [5] Franzia, A. Acikgoz, S. De Jong, M.J. (2020). "Timoshenko beam models for the coupled analysis of building response to tunnelling," *Tunn Undergr Space Technol*, 96, 103160.

## ۵. بحث و نتیجه‌گیری

در این مطالعه مدلی ساده شده از اندرکنش یک تونل با حفاری و ساخت به روش NATM و سربار ساختمان سطحی ارائه شده است. مدل‌سازی‌های عددی دو و سه بعدی در قالب روش مرسوم اجزای محدود [۱۸ و ۱۹] برای این منظور بکار گرفته شده‌اند. برای ساده‌سازی مساله اندرکنش تونل-خاک-ساختمان، مدل ساختمان‌های چند طبقه سطحی با سربار سطحی معادل خود جایگزین شده است. مقطع تونل مورد بررسی تونل نعل اسپی NATM پروژه قطار شهری کرمانشاه است. مدل رفتاری ارجاعی-خمیری کامل مور-کولمب برای مدل‌سازی توده‌های خاک اطراف تونل بکار رفته است. بر اساس یافته‌های این مطالعه نتایج اساسی زیر قابل بیان هستند:

- ۱- نتایج این مطالعه نشان می‌دهد که رابطه‌ای نمایی، صعودی-افزایشی و ساده با دقت قابل قبول مابین سربار ساختمان‌های سطحی مختلف و نیز تغییر شکل‌ها، تنش‌ها و کرنش‌های برشی خاک و تلاش‌ها-نیروهای داخلی شامل لنگرخمشی، نیروی برشی و نیروی محوری سیستم در پوشش بتن مسلح تونل وجود دارد.
- ۲- مدل رفتاری مور-کولمب با توجه به فرض قانون جریان ناهمراء (غیروابسته) جهت تخمین اولیه پاسخ اندرکنشی تونل-ساختمان سطحی- خاک انتخاب مناسبی است.
- ۳- مقایسه نتایج مدل‌سازی‌های صحت سنجی و راستی آزمایی روش اجزای محدود دو بعدی انتخابی مدل تونل NATM این مطالعه (یعنی رویکرد عددی 2D-FEA) و اندازه‌گیری‌های مقاله مرجع با شرایط کاملاً نزدیک و مشابه مدل پارامتری این مقاله، برای پارامتر مهم جابجایی قائم (نشست) مدل مقطع عرضی بیشینه تونل T35 بین ۱۱٪/۴۵ تا ۶٪/۶۷ اختلاف را نشان می‌دهد، که مقداری ناچیز و به خوبی قابل قبول است. این اختلاف ناچیز دقت بسیار مناسب سایر مدل‌سازی‌های عددی این مطالعه را نشان می‌دهد.
- ۴- مقایسه نتایج صحت سنجی تحلیل‌های اجزای محدود سه بعدی این مطالعه و مقاله مرجع اختلافی حدود ۷٪/۱۴ درصد را نشان می‌دهد. این اختلاف با توجه به جزئیات متعدد مدل‌سازی‌های عددی اجزای محدود سه بعدی 3D-FEA مدل واقعی تونل ۳۵ بسیار ناچیز و کاملاً قابل اغمض است.

- constructed on subway tunnel," *Sci e Tot Environ*, 668, pp 485-499.
- [17] Brinkgreve, R.B.J. Swolfs, W.M. Engin, E. (2007). "PLAXIS 2D (1942-2007). Version 8.6, Reference Manual," Delft University of Technology and PLAXIS B.V., The Netherlands.
- [18] Plaxis 3D (2000). "PLAXIS 3D Tunnel," Version 1.2, User Manual, (2000).
- [۱۹] شرکت سازمان قطار شهری کرمانشاه (۱۳۹۵). "گزارش تحلیل سازه‌ای و طراحی پوشش بتونی تونل اتریشی،" با مشارکت شرکت مهندسین مشاور عمران محیط زیست- بهان سد، خرداماه ۱۳۹۵. تهران. ایران.
- [20] Aksoy, C.O. Oğul, K. Topal, I. Posluk, E. Gicir, A. Kucuk, K. Uyar Aldas, G. (2014). "Reducing deformation effect of tunnel with Non-Deformable Support System by Jointed Rock Mass Model," *Tunn and Undergr Space Technol*, 40, pp 218-227.
- [6] Franco, V.H., Gitirana, G.F.N. A.P. Assis A.P. (2019). "Probabilistic assessment of tunneling-induced building damage," *Comput Geotech*, 113, 103097.
- [7] Fu, J. Yu, Z. Wang, S. Yang, J. (2018). "Numerical analysis of framed building response to tunnelling induced ground movements," *Engineering Structures*, 158, pp 43-66.
- [8] Gong, C., Ding, W. Xie, D. (2020). Twin EPB tunneling-induced deformation and assessment of a historical masonry building on Shanghai soft clay. *Tunn Undergr Space Technol*, 98, 103300.
- [9] Katebi, H. Rezaei, A.H. Hajialilue-Bonab, M. Tarifard, A. (2015). "Assessment the influence of ground stratification, tunnel and surface buildings specifications on shield tunnel lining loads (by FEM)," *Tunn Undergr Space Technol*, 49, pp 67-78.
- [10] Zhao, C. Schmüdderich, C. Barciaga, T. Röchter, L. (2019). "Response of building to shallow tunnel excavation in different types of soil," *Comp Geotech*, 115, 103165.
- [11] Zhao, C. Alimardani Lavasan, A. Höltner, R. Schanz, T. (2018). "Mechanized tunneling induced building settlements and design of optimal monitoring strategies based on sensitivity field," *Comp Geotech* 97, pp 246-260.
- [12] Mirhabibi, A. Soroush, A. (2013). "Effects of building three-dimensional modeling type on twin tunneling-induced ground settlement," *Tunn Undergr Space Technol*, 38, pp 224-234.
- [13] Khabbaz, H. Gibson, R. Fatahi, B. (2019). "Effect of constructing twin tunnels under a building supported by pile foundations in the Sydney central business district," *Underground Space*.
- [14] Zhang, L. Wu, X. Skibniewski, M.J. Fang, W. Deng, Q. (2015). "Conservation of historical buildings in tunneling environments: Case study of Wuhan metro construction in China," *Const Buil Mat*, 82, pp 310-322.
- [15] Mirhabibi, A. Soroush, A. (2012). "Effects of surface buildings on twin tunnelling-induced ground settlements," *Tunn Undergr Space Technol*, 29, pp 40-51.
- [16] Yang, J. Zhu, S. Zhai, W. Kouroussis, G. Wang, Y. Wang, K. (2019). "Prediction and mitigation of train-induced vibrations of large-scale building